

(245) フレットツムーンミルにおける管の応力と変形の解析

住友金属工業(株)中央技術研究所 平岡宣昭

1. 目的; フレットツムーンミルにおける鍛接管製造のメカニズムを塑性論的に把握し、操業技術の向上と計算精度向上への基礎とする。

2. 記号と式: i : スタンド No., l, r, θ : 管軸, 径, 周方向, σ : 応力, ψ : 歪, k_f : 变形抵抗, μ, μ_0, μ_F : 摩擦係数(管・ロール, 帯鋼・R/D, 床), A : 管断面積, t : 管内厚, d : 管外径, v : 管速度, R_a, R_b : 平均管内外半径, D_g : ロール溝底径, R : 孔型カッタ半径, N_R : ロール Y.P.M., Z_c : ロールヒ管の接触開始曲線, S_R : 軸方向射影接触面積, $^\circ$ 印: 热影響部, $'$ 印: 本体部。

$$(1) \text{歪の定義: } \varphi_{ei} = \ln(A_{ei}/A_i), \varphi_{bi} = \ln(A_{bi}/A_{ei}), \varphi_{ri} = \ln(t_i/t_{i-1}) \quad *$$

$$(2) \text{応力関係式: } \sigma_{ei} = (\varphi_{ei} - \varphi_{ri})K_i + \sigma_{ri}, \sigma_{bi} = (\varphi_{bi} - \varphi_{ri})K_i + \sigma_{ri}, \sigma_{rbi} = (\varphi_{bi} - \varphi_{ri})K_i \ln(R_{bi}/R_{ai}) \quad *$$

$$\text{ただし } K_i = \sqrt{2k_{fi}} / \sqrt{(\varphi_{ei} - \varphi_{ri})^2 + (\varphi_{bi} - \varphi_{ri})^2 + (\varphi_{ri} - \varphi_{ei})^2}$$

$$(3) \text{平均応力近似式: } \bar{\sigma}_{ei} = (\sigma_{ei} + \sigma_{ri})/2, \bar{\sigma}_{ri} = \sigma_{rbi}/2 \quad *$$

$$(4) 2領域間の関係式: A_i \bar{\sigma}_{ei} + A_{i-1} \bar{\sigma}_{i-1} + P_{ri} + P_{bi} = A_i \bar{\sigma}_i + A_{i-1} \bar{\sigma}_{i-1} + P_{fi} + P_{bi}, (t_{i-1} + t_i) \bar{\sigma}_{bi} = (t_{i-1} + t_i) \bar{\sigma}_i, \varphi'_i = \varphi_i^\circ$$

$$(4) ロール反力, 摩擦力の水平分力: P_{ri} = -\sigma_{rbi} S_{ri}, P_{bi} = -\mu_i \sigma_{rbi} A S_{fi} \quad *$$

$$(4)_2 \text{中立線の式: } Z_{ni} = \frac{1}{2} \sqrt{D_{gi}^2 - [D_{gi}^2 + d_i - t_{mi} - \frac{60 A_i v_i}{\pi^2 t_{mi} N_R (D_{gi} + 2 R_i (1 - \cos(w/R_i)))}]^2} \quad *$$

$$(4)_3 \text{前向, 後向スリップ面積差: } \Delta S_{fi} = \int_w (Z_{ci} - Z_{ni}) dw \quad *$$

$$(5) ミル入口, 出口境界条件: A_i \bar{\sigma}'_i + A_{i-1} \bar{\sigma}'_{i-1} = J, A_N \bar{\sigma}'_N + A_{N-1} \bar{\sigma}'_{N-1} = 0$$

$$(6) ミル入口後方張力: J = \frac{1 \pm 2 \mu_0 / \pi}{1 \mp 2 \mu_0 / \pi} \mu_F l F P_F A_0$$

以上の式を解けば応力, 歪が求まる。計算例を図1~4に示す。

3. 成果: 帯鋼厚変動による製管内厚のばらつき, ミル入口

における帯鋼の巾方向温度差とビード高さの関係ほか, その対応関係も含めて実用面で有益な知見が得られた。

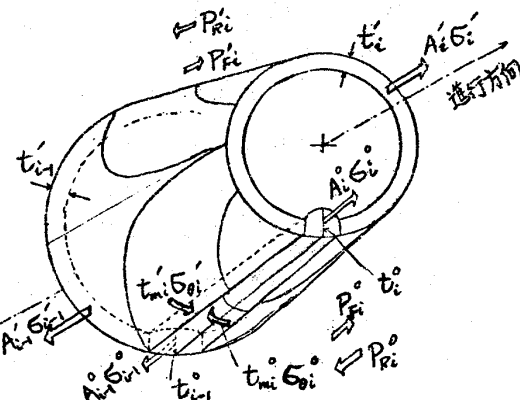


図1 ミルにおける応力の釣合

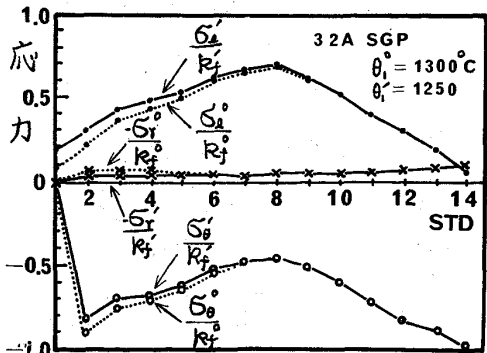


図2 各スタンドでの応力

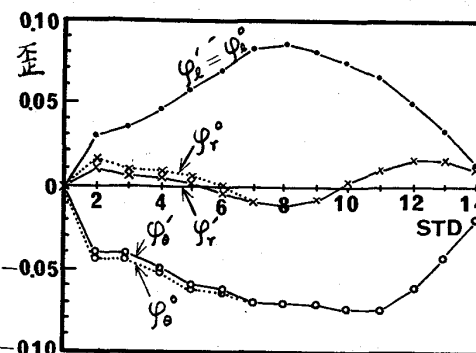


図3 各スタンドでの歪

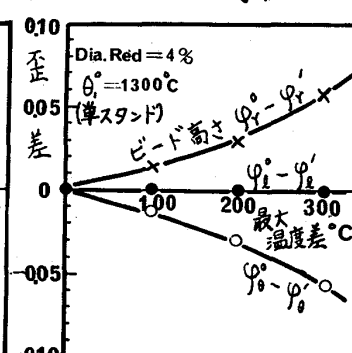


図4 周方向温度差と変形